

文章编号: 1001-3806(2008)03-0284-03

Mg:Er:LiNbO₃ 晶体的激光性能和 550nm 寿命特性研究

王义杰¹, 于海涛¹, 孙亮², 徐玉恒²

(1. 哈尔滨理工大学 应用科学学院, 哈尔滨 150080; 2. 哈尔滨工业大学 材料学院, 哈尔滨 150001)

摘要: 为了测试 Mg:Er:LiNbO₃ 晶体的光损伤阈值和红外光谱, 采用 Czochralski 技术生长出优质的 Mg:Er:LiNbO₃ ($x = 0.02, 0.04, 0.06, 0.08$; $y = 0.01$ (摩尔分数)) 晶体。通过实验得出 Mg(0.06):Er:LiNbO₃ 和 Mg(0.08):Er:LiNbO₃ 晶体抗光损伤阈值比 LiNbO₃ 晶体提高 2 个数量级以上, 且它们的红外光谱 OH⁻ 吸收峰移到 3535 cm⁻¹ 附近; 在波长 510 nm ~ 580 nm 范围内得到 Mg:Er:LiNbO₃ 晶体稳态发射谱。结果表明, Mg²⁺ 浓度增加抗光损伤能力增加, 掺进摩尔分数为 0.04 的 MgO 是 Mg:Er:LiNbO₃ 晶体寿命最长的晶体。

关键词: 激光技术; Mg:Er:LiNbO₃ 晶体; 激光性能; 光损伤阈值; 寿命特性

中图分类号: O734 文献标识码: A

Study on laser property and 550nm lifetime characteristics of lithium niobate doped with magnesium and erbium

WANG Yijie¹, YU Haaitao¹, SUN Liang², XU Yu-heng²

(1. Applied Science College, Harbin University of Science and Technology, Harbin 150080, China; 2. School of Materials Science and Engineering, Harbin Institute of Technology, Harbin 150001, China)

Abstract In order to measure the photo damage threshold and infrared spectra of Mg:Er:LiNbO₃ crystals, the high quality Mg:Er:LiNbO₃ ($x = 0.02, 0.04, 0.06, 0.08$; $y = 0.01$ (mole fraction)) crystals were grown by Czochralski technique. The experiment indicated that the photo damage resistance ability of Mg(0.06):Er:LiNbO₃ and Mg(0.08):Er:LiNbO₃ crystals improved the two orders magnitude over higher than that of LiNbO₃ crystals and their OH⁻ absorption peak of infrared spectra shifts to 3535 cm⁻¹ nearby. The experiment gained the steady state shoot spectra of Mg:Er:LiNbO₃ crystals in wavelength 510 nm ~ 580 nm finding doped with mole fraction 0.04 of MgO. The results showed that the Mg²⁺ concentration increased the photo damage resistance ability increased and the lifetime of Mg:Er:LiNbO₃ crystal doped with mole fraction 0.04 of MgO was the longest.

Key words laser technique; Mg:Er:LiNbO₃ crystal; laser property; photo damage threshold; lifetime characteristics

引言

Er:LiNbO₃ 晶体结合了 Er 离子的激光特性和 LiNbO₃ 晶体优良的电光、声光^[1] 和非线性光学性能, 从而引起人们的研究兴趣^[2]。尤其是 Er 离子可以在光纤通信的最小损耗的第 3 个窗口 1.53 μm 波长附近产生激光, 也可以进行光放大^[3]。另一方面, 这种晶体材料可以在集成光学中使有源器件和无源器件如耦合器、滤波器和调制器集成到一起, 对于集成光学具有重要意义^[4]。通过周期性极化 Er:LiNbO₃ 晶体的准位相匹配、自激发可以同时产生 3 个原色的激光^[5-7]。

作者一方面报道以提拉法获得组分均匀且无各种

作者简介: 王义杰 (1952-), 女, 教授, 主要研究领域为功能材料。

E-mail: wylie@tom.com

收稿日期: 2007-04-24 收到修改稿日期: 2007-07-04

宏观缺陷的新型光波导基片材料和激光基质材料 Mg:Er:LiNbO₃ 晶体。另一方面, 通过 X 射线和红外光谱手段, 研究 Mg 离子在 LiNbO₃ 晶体中的占位情况以及 Mg 的掺量对 Mg:Er:LiNbO₃ 晶体抗光损伤能力的影响。同时也研究了 550 nm Mg:Er:LN 的寿命特性。

1 实验

1.1 Mg:Er:LiNbO₃ 晶体的生长

原料为 Nb₂O₅ (4N), LiCO₃ (4N), MgO (光谱纯) 和 Er₂O₃ (光谱纯), 成分配比为 $n(\text{Li})/n(\text{Nb}) = 0.946$ 在 LiNbO₃ 中掺入 0.005 (摩尔分数, 下同) 的 Er₂O₃, 并分别掺入摩尔分数为 0.02, 0.04, 0.06, 0.08 的 MgO 提拉法生长 0.02Mg:0.01Er:LiNbO₃, 0.04Mg:0.01Er:LiNbO₃, 0.06Mg:0.01Er:LiNbO₃, 0.08Mg:0.01Er:LiNbO₃ 晶体。Mg:Er:LiNbO₃ 晶体成分配比见表 1。处理后晶片尺寸为 10 mm × 8 mm ×

Table 1 Photo damage thresholds of Mg:Er:LNbO₃ crystals

sample	<i>n</i> (Mg)	<i>n</i> (Er)	<i>R</i> (/W·cm ⁻²)
LNbO ₃			1.4×10
1#	0.02	0.01	6.4×10 ²
2#	0.04	0.01	9.4×10 ²
3#	0.06	0.01	3.3×10 ³
4#	0.08	0.01	2.1×10 ²

1mm (*z* x, *y*), 进行光学级抛光。

1.2 Mg:Er:LNbO₃ 晶体光折变阈值的测试^[8]

采用透射光斑变形法测试 Mg:Er:LNbO₃ 晶体光损伤阈值。图 1 为透射光斑变形法测试晶体光损伤阈值光路图。以 Ar⁺ 激光器作光源, $\lambda = 514.5\text{ nm}$, 光束

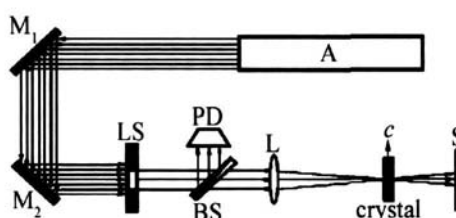


Fig 1 Setup diagram for measurement of optical damage thresholds. M₁, M₂—reflect mirror; L—light shield; PD—power detector; BS—beam splitter; L—lens; S—screen; A—Ar laser

照射在晶体的 *y* 面。激光功率密度较低时, 透射光斑是圆形, 当功率密度达到一定值时, 光斑开始变形, 沿着晶体 *c* 轴伸长。晶体样品的光损伤阈值测试结果见表 1。

由测试结果看出, Mg:Er:LNbO₃ 晶体的光损伤阈值高于 LNbO₃ 晶体且随着 Mg²⁺ 浓度增加而增加。3# 晶体和 4# 晶体抗光损伤阈值比 LNbO₃ 晶体提高 2 个数量级以上。

1.3 Mg:Er:LNbO₃ 晶体抗光损伤阈值增强机理

由锂空位模型, 在 LNbO₃ 中存在锂空位 V_{Li}⁻ 和反位铌 Nb_{Li}⁴⁺ 两种本征缺陷, 光折变中心 Nb_{Li}⁴⁺/Nb_{Li}⁵⁺ 使 LNbO₃ 晶体产生光折变效应。在 LNbO₃ 中掺进 Mg²⁺ 和 Er³⁺, 两种离子取代 Nb_{Li}⁴⁺, Nb_{Li}⁴⁺ 使其浓度降低, 使 Nb_{Li}⁴⁺/Nb_{Li}⁵⁺ 光折变中心作用减弱, 提高了晶体光损伤阈值, 当 Mg²⁺ 达到阈值浓度完全取代 Nb_{Li}⁴⁺ 使 3# 晶体和 4# 晶体抗光损伤阈值比 LNbO₃ 晶体提高 2 个数量级以上。

1.4 Mg:Er:LNbO₃ 晶体的红外光谱

H⁺ 在 LNbO₃ 晶体生长过程中进入晶体内部与氧结合, 以 OH⁻ 形式影响其光折变性能, 对全息光栅热固定、光波导、暗电导等产生重要影响。OH⁻ 的吸收峰随着掺进杂质的浓度和 LNbO₃ 晶体中 [Li]/[Nb] 比变化而移动。通过 OH⁻ 的吸收峰的位置可以确定掺杂离子的阈值浓度和 LNbO₃ 晶体的缺陷情况。

采用 AVATAR360 型 FT-R 红外光谱仪测试 Mg:Er:LNbO₃ 晶体的红外光谱, 测试结果如图 2 所示。

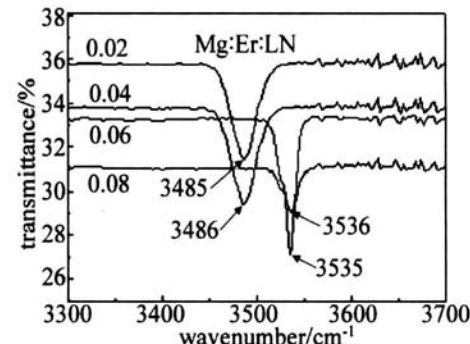


Fig 2 Infrared spectra of Mg:Er:LNbO₃ crystal

红外光谱取值范围为 3300 cm⁻¹ ~ 3700 cm⁻¹, Mg:Er:LNbO₃ 晶体和掺量低于 0.05 的 Mg:Er:LNbO₃ 晶体吸收光谱中 OH⁻ 的吸收峰位于 3485 cm⁻¹ 附近, 而 MgO 的掺量在 0.05 以上时, 相应吸收峰移到 3535 cm⁻¹ 附近。

1.5 Mg:Er:LNbO₃ 晶体 OH⁻ 吸收峰移动机理

根据锂空位模型, 在 LNbO₃ 晶体中存在锂空位 V_{Li}⁻ 和反位铌 Nb_{Li}⁴⁺ 两种本征缺陷, 由于锂空位 V_{Li}⁻ 带负电荷, 它很容易吸引 H⁺, H⁺ 与 O²⁻ 结合形成 OH⁻。OH⁻ 与 4V_{Li}⁻ 和 Nb_{Li}⁴⁺ 形成 4V_{Li}⁻Nb_{Li}⁴⁺O—H 缺陷集团振动在 3482 cm⁻¹ 附近, 当 Mg²⁺ 未达到阈值浓度, 它取代 Nb_{Li}⁴⁺ 占据锂位, 它对 H⁺ 起排斥作用, H⁺ 不会聚集在 Mg_{Li}⁴⁺ 附近, 此时 OH⁻ 吸收峰仍然聚集在锂空位附近。OH⁻ 吸收峰仍在 3482 cm⁻¹ 附近。Er³⁺ 在 Er:LNbO₃ 晶体中同时取代 Nb_{Li}⁴⁺ 和 Li⁺ 占据 Li 位以 E_{Li}²⁺ 形式存在。形成 E_{Li}²⁺ 需要 2 个 V_{Li}⁻ 达到电荷平衡, 这时 OH⁻ 与 2V_{Li}⁻E_{Li}²⁺ 形成 2V_{Li}⁻E_{Li}²⁺O—H 缺陷集团, 振动在 3488 cm⁻¹ 位置。在 Mg:Er:LNbO₃ 晶体中当 Mg²⁺ 未达到阈值浓度, 4V_{Li}⁻Nb_{Li}⁴⁺O—H 和 2V_{Li}⁻E_{Li}²⁺O—H 两个缺陷集团联合振动 3485 cm⁻¹ 附近。当 Mg²⁺ 达到阈值浓度, Mg²⁺ 开始进入 Nb⁵⁺ 位形成 Mg_{Nb}³⁻, 其中 Mg_{Nb}³⁻ 比 V_{Li}⁻ 更具有吸引 H⁺ 的能力, 因此晶体中的 H⁺ 便聚集在附近, 红外光谱主要反映 Mg_{Nb}³⁻O—H 缺陷集团的受激振动。因为 Mg_{Nb}³⁻ 比 V_{Li}⁻ 对 H⁺ 具有更强的吸引力, OH⁻ 吸收光子受激振动需要更高的能量, Mg_{Nb}³⁻O—H 震动 3535 cm⁻¹ 附近(紫移)。

1.6 Mg:Er:LNbO₃ 晶体吸收光谱的光谱项

Er³⁺ 的基态光谱项为 ⁴I_{5/2}, 由吸收光谱测试结果 Mg:Er:LNbO₃ 晶体有下列(见表 2)光谱项的跃迁组成。

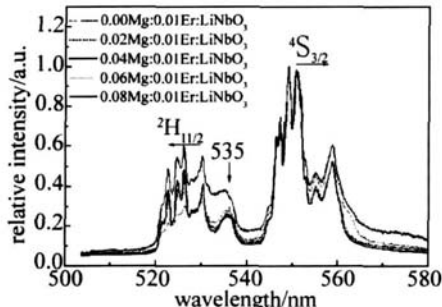
实验结果 ⁴I_{5/2} → ⁴G_{11/2} 跃迁能级的吸收振子强度最高, 是利用率最高的抽运光波长, ⁴I_{5/2} → ²H_{11/2} 跃迁能级的吸收振子强度也较高, 用此波长的光源进行抽运利用率也较高。

Table 2 Transition spectra term and homologous energy level of $Mg:Er:LiNbO_3$ crystal

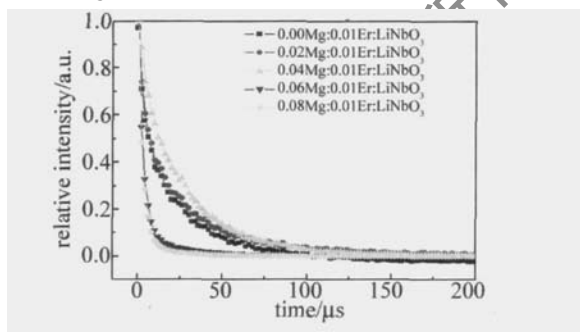
transition spectra term	transition energy level	transition spectra term	transition energy level
$^4G_{21/2}$	$0.378\mu m$ (the strongest absorption peak)	$^4I_{11/2}$	$0.974\mu m$
$^2H_{11/2}$	$0.520\mu m$ $0.523\mu m$ (strong absorption peak)	$^4I_{3/2}$	$1.059\mu m \sim 1.542\mu m$
$^4F_{9/2}$	$0.653\mu m$		

2 飞秒激光器分析 550nm 寿命特性

室温下, 在波长 $510nm \sim 580nm$ 范围内, 得到 $Mg:Er:LiNbO_3$ 稳态发射谱, 如图 3 所示。随着 MgO 的

Fig. 3 $Er:LiNbO_3$ emission spectra of high doping magnesium oxide

加入, Mg 浓度提高超出光损伤阈值, 发射强度逐渐提高。然而, 当晶体的掺杂在晶体的光损伤阈值浓度下, 发射强度是逐渐减弱的。在重掺镁晶体中, 除了发射峰在 $535nm$ 处相对于不掺杂或少量掺杂晶体显示出蓝移外, 其它的 9处主要峰值相比只有略微的不同。作者分析了样品在 $550nm$ 的强度衰减曲线图, 每一个指数衰减曲线可以很好地符合到时间决定谱图。图 4 反映了 MgO 掺入的浓度对寿命测量的影响, 可以看

Fig. 4 $Er:LiNbO_3$ photo attenuation mechanics chart of high doping magnesium oxide

到, 当 MgO 掺入量超出光损伤阈值时, 寿命急剧地减小。它的寿命比低于光损伤阈值时减少 82% , 另外, 当 MgO 的掺入量低于阈值浓度时, 寿命的增长与

掺入量成比例。但是当重掺 MgO 时, 情况却相反。最长寿命在铌酸锂晶体掺入摩尔分数为 0.04 的 MgO 时, 它的寿命相比未掺杂晶体延长了近 33% 。 $526nm$ 和 $559nm$ 的寿命特性与 $550nm$ 很相近。

3 结 论

采用提拉法生长 $Mg:Er:LiNbO_3$ 晶体, 测试晶体的抗光损伤阈值, $3^#$ 和 $4^#$ 晶体样品抗光损伤阈值比 $LiNbO_3$ 提高 2 个数量级以上, OH^- 吸收峰移到 $3535cm^{-1}$ 附近。利用锂空位模型对 $Mg:Er:LiNbO_3$ 晶体, 抗光损伤机理、 OH^- 吸收峰移动机理进行研究。 $Mg(0.04):Er:LiNbO_3$ 晶体寿命最长, $Mg:Er:LiNbO_3$ 晶体的激光性能优于 $Er:LiNbO_3$ 晶体。

参 考 文 献

- [1] PANG Zh G, YU K X, FAN H. Study of the optimum operating mode in lithium niobate acousto-optic modulator [J]. Laser Technology, 2007, 31(2): 160-162 (in Chinese).
- [2] RUAN Y F, LIB L, LIW R. Spectral data and Stark-level energies of Er^{3+} ions in lithium niobate [J]. Journal of Synthetic Crystals 1995, 24(4): 272-277 (in Chinese).
- [3] CHEN D Zh, GAO J B, WEN Zh L, et al. Electro-optic Q-switch technique for 1.54μm Er-glass lasers [J]. Laser Technology, 2001, 25(2): 95-96 (in Chinese).
- [4] HU W Sh, CHEN Sh F. The development of $Er:LiNbO_3$ waveguide laser [J]. Optoelectronic technology and information 2000, 13(6): 1-7 (in Chinese).
- [5] MAYER L E, ECKARDT R C, FEJER M M, et al. Quasi-phase-matched optical parametric oscillators in bulk periodically poled $LiNbO_3$ [J]. J O S A, 1995, B12(11): 2102-2116.
- [6] BYER R L. Quasi-phase-matched nonlinear interactions and devices [J]. Journal of Nonlinear Optical Physics and Materials 1997, 6(4): 549-592.
- [7] BISSON S E, ARMSTRONG K M, KULIP T, et al. Broadly tunable mode-hop tuned CW optical parametric oscillator based on periodically poled lithium niobate [J]. Appl Opt 2001, 40(33): 6049-6055.
- [8] LIM H, GAO Y K, JIA X L, et al. Growth and optical properties of laser crystal Nd:ZnO:LiNbO₃ [J]. Chinese Journal of Lasers 1994, 2(1): 72-76 (in Chinese).